

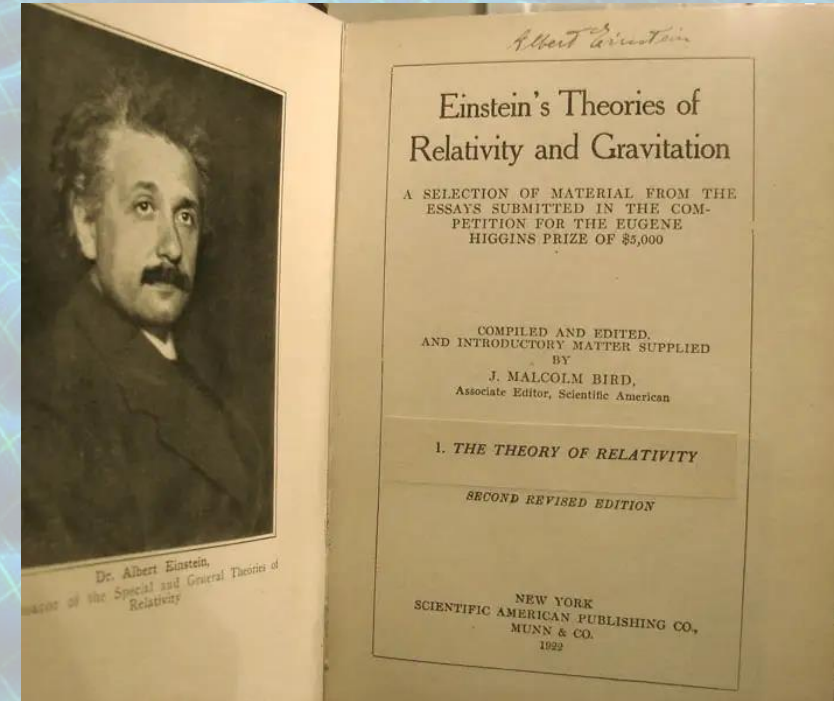


# Simulations de merger de SSM et estimation des possibles détections actuelles et futures



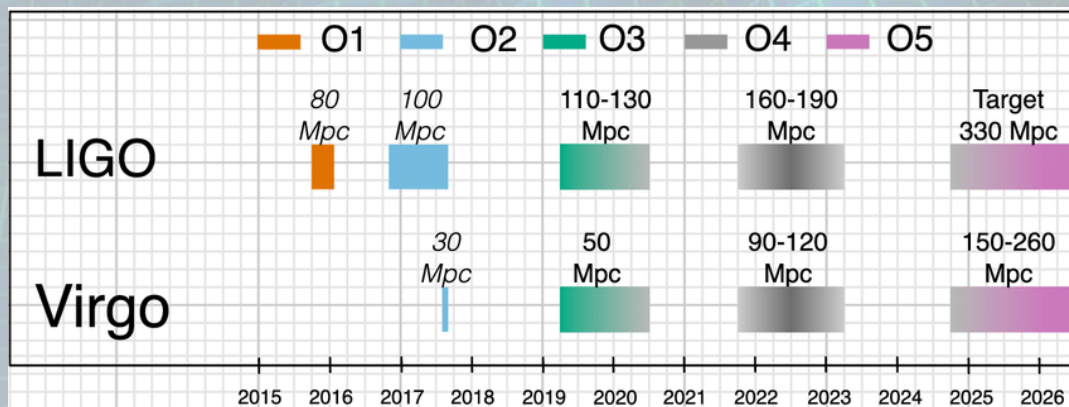
# I - Contexte

Publication de la théorie de la relativité générale :  
1915



Source : Einstein Archives

Source : indico.cern.ch

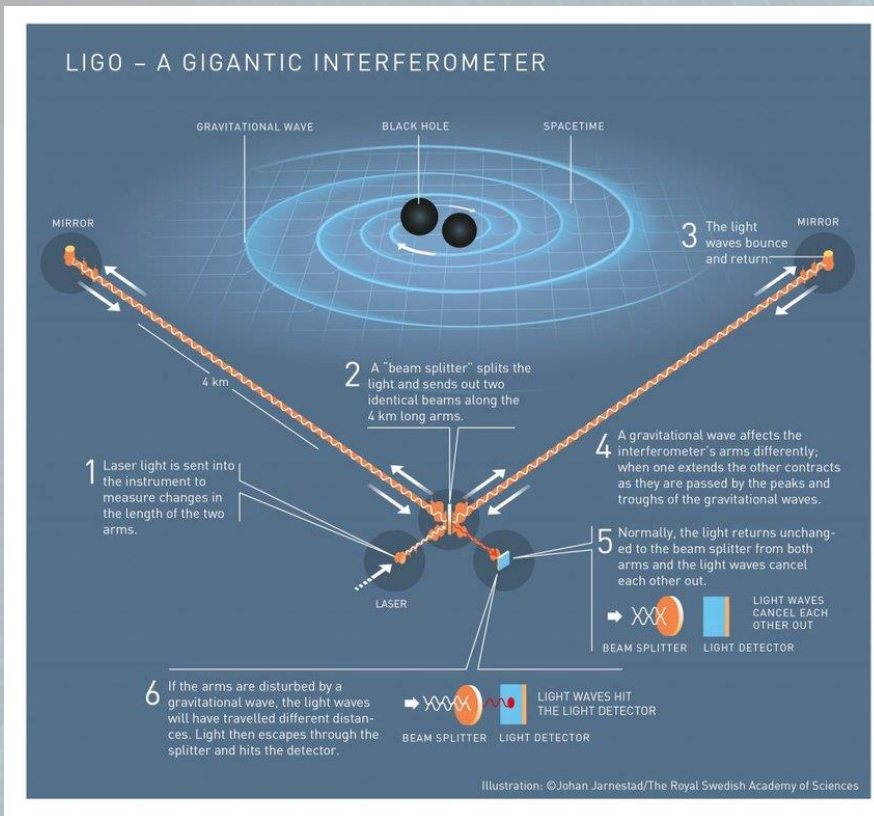


Première détection des Ondes gravitationnelles  
issues de merger de trous noirs : 14 septembre 2015

Première observation d'un merger de BNS : 17 août  
2017



# I - Contexte



Source : the Virgo Collaboraion

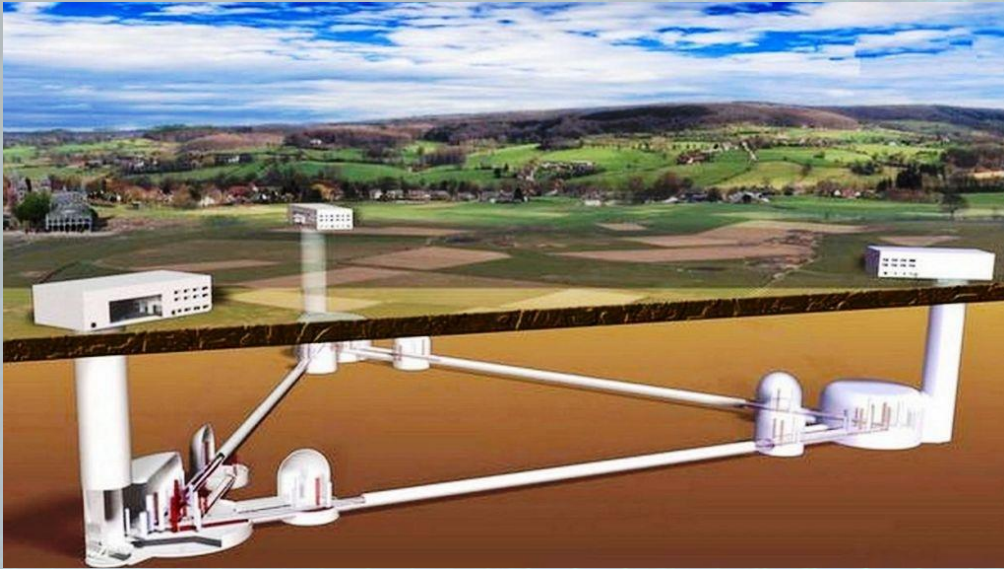
Détecteur LIGO :  
Bras : 4km  
Mise en service : septembre 2002

Détecteur Virgo :  
Bras : 3km  
Mise en service : 2007



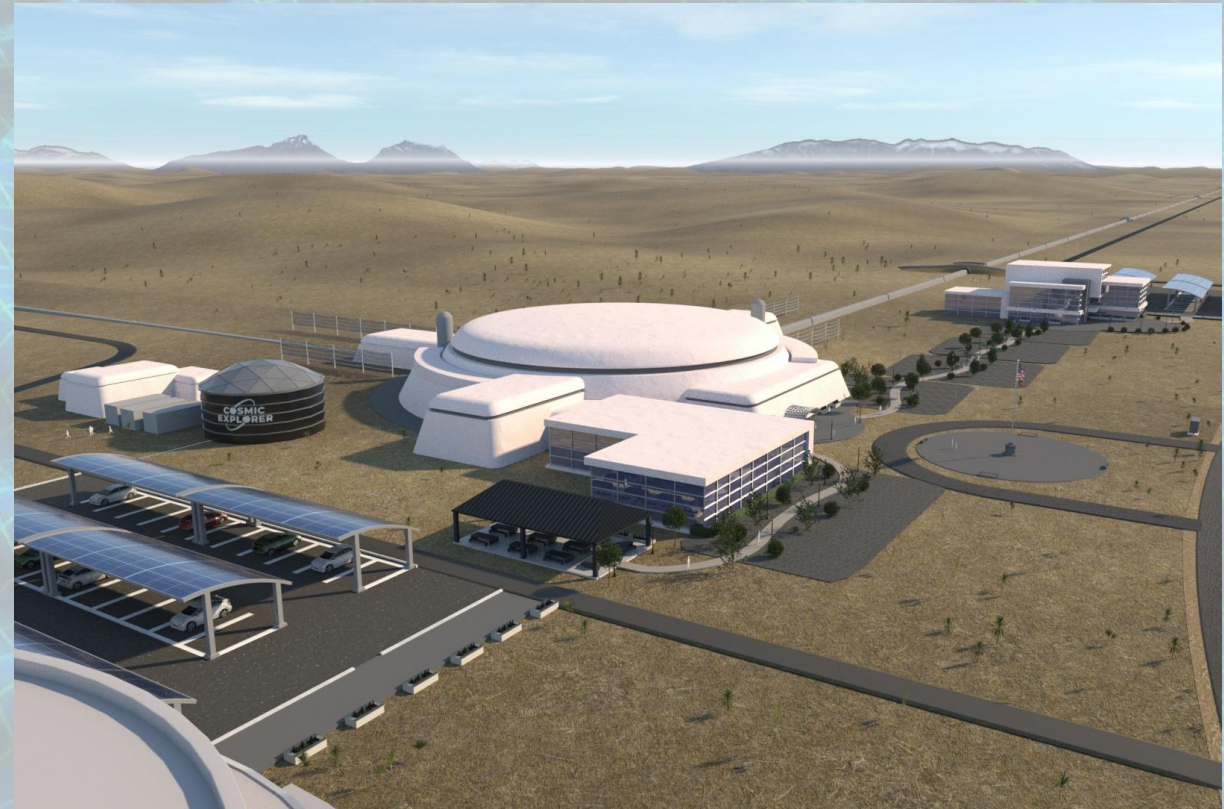
# I - Contexte

Source : Ardenne web.eu



Futur détecteur Einstein Telescope :  
Bras : 10km (trois bras)  
Profondeur : 300m  
Mise en service estimée : 2035

Source : Cosmic Explorer.org



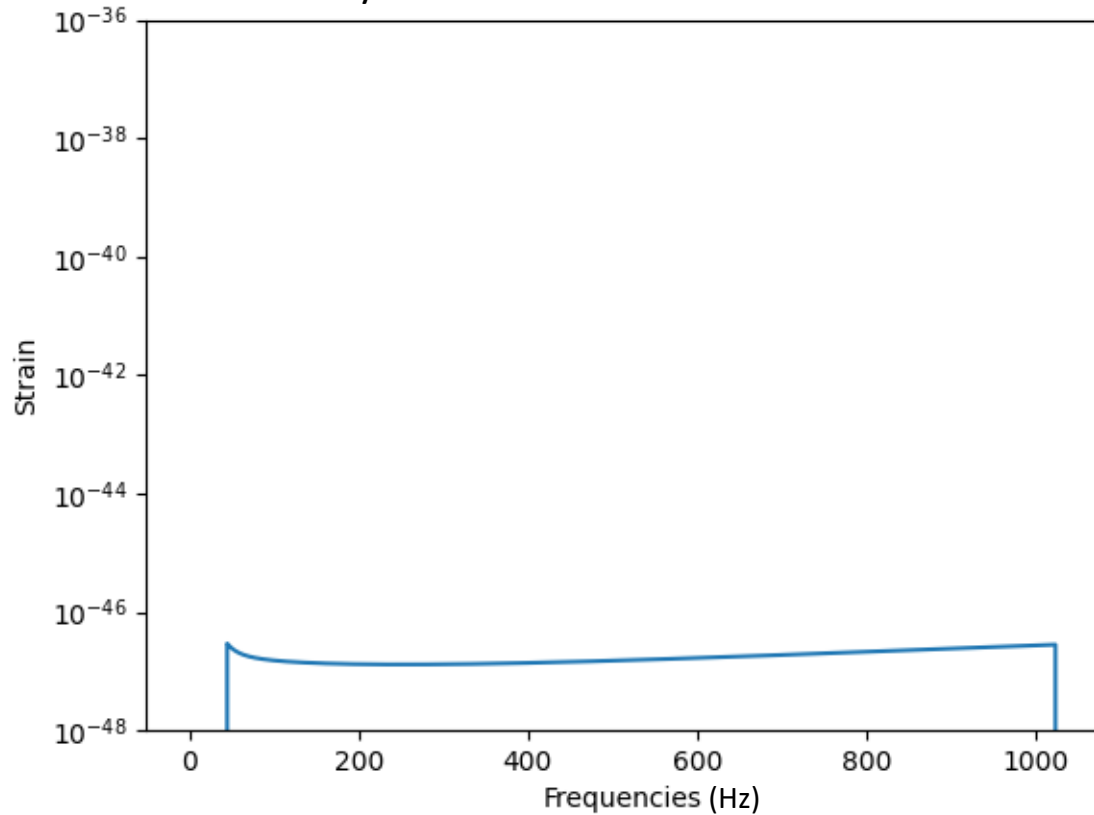
Futur détecteur Cosmic Explorer :  
Bras : 20 et 40km  
Mise en service : 2035



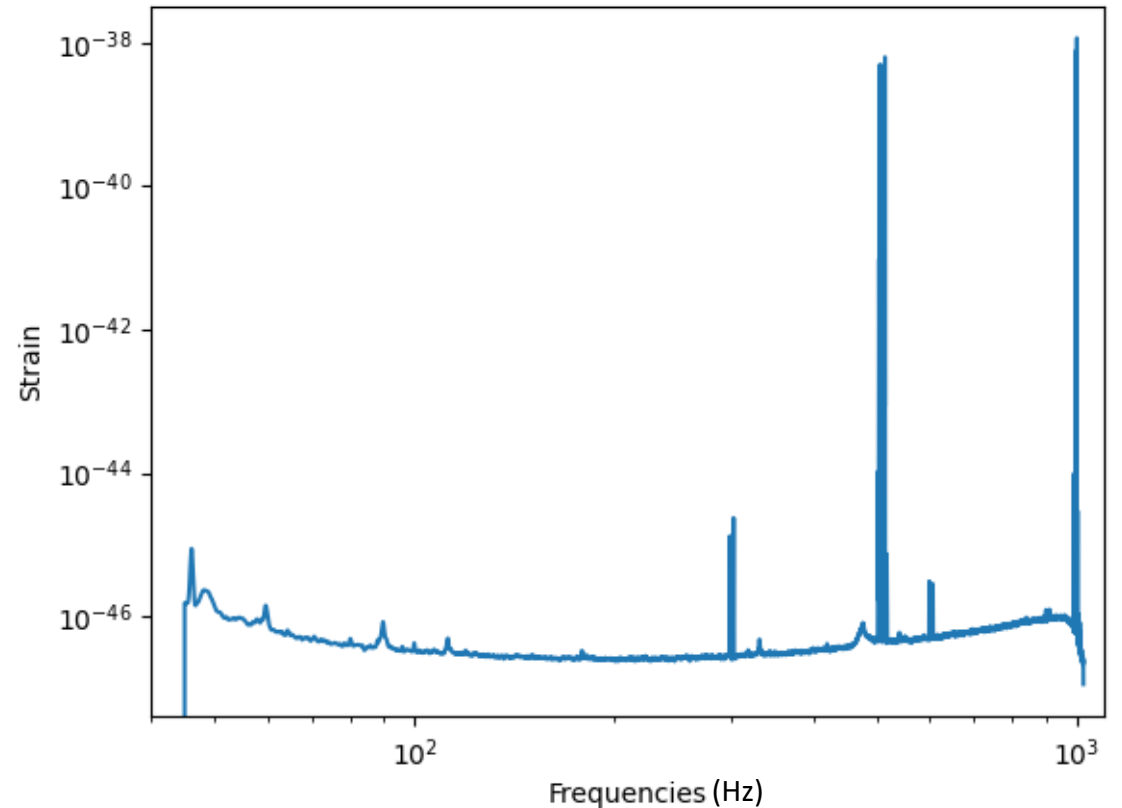
# II – Détections actuelles

Sensibilité des détecteur la « Power Spectral Density » :

Analytical PSD from advanced LIGO

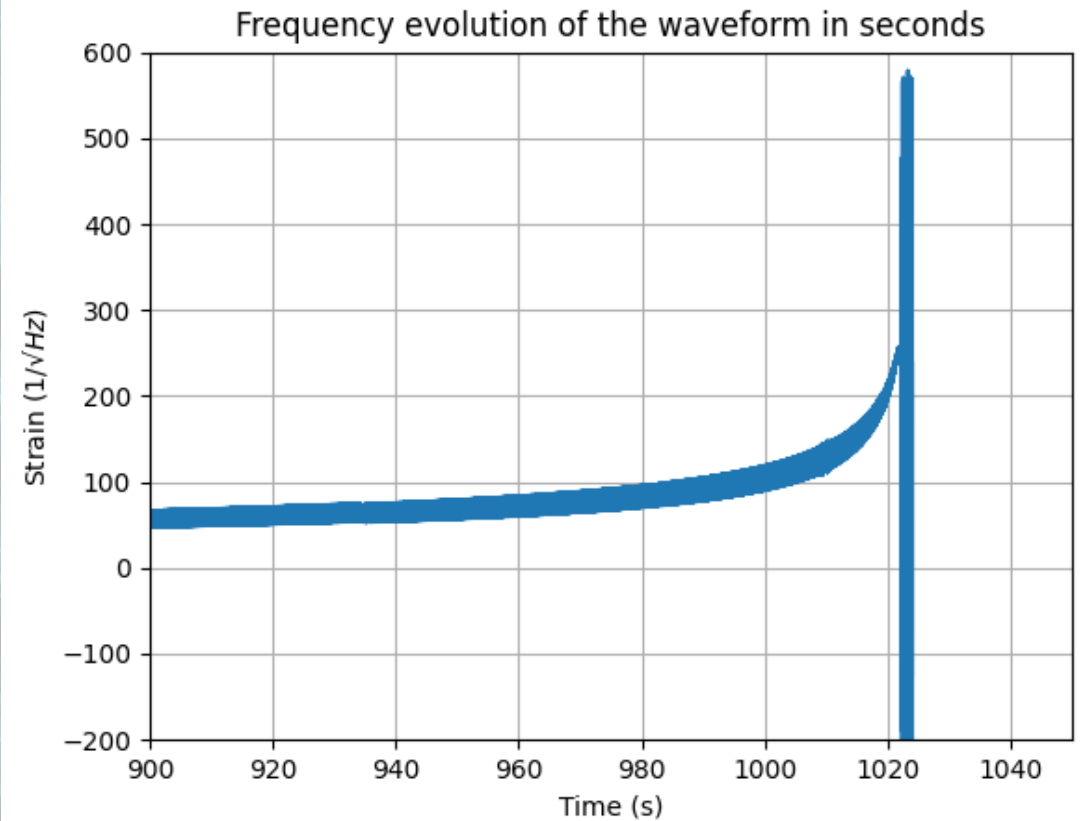
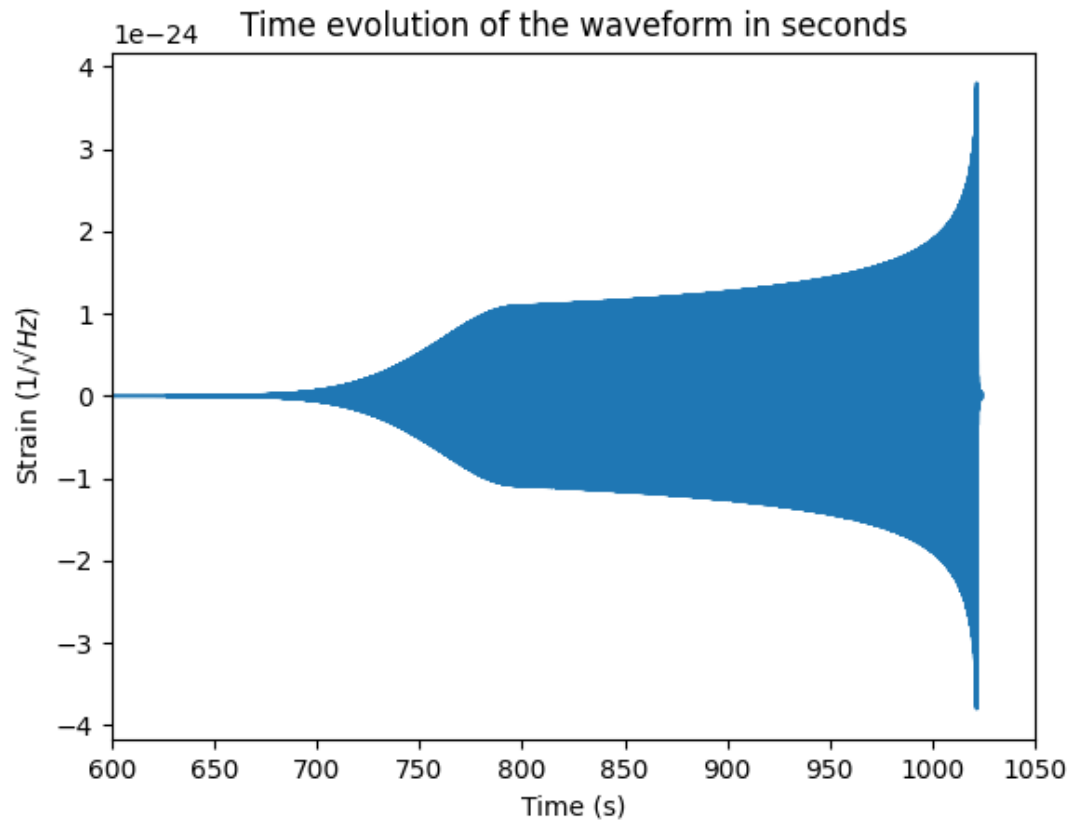


Real PSD from Hanford detector



# II – Détections actuelles

Signal simulé, la « Waveform »:



Waveform utilisée : IMRPhenomPv2

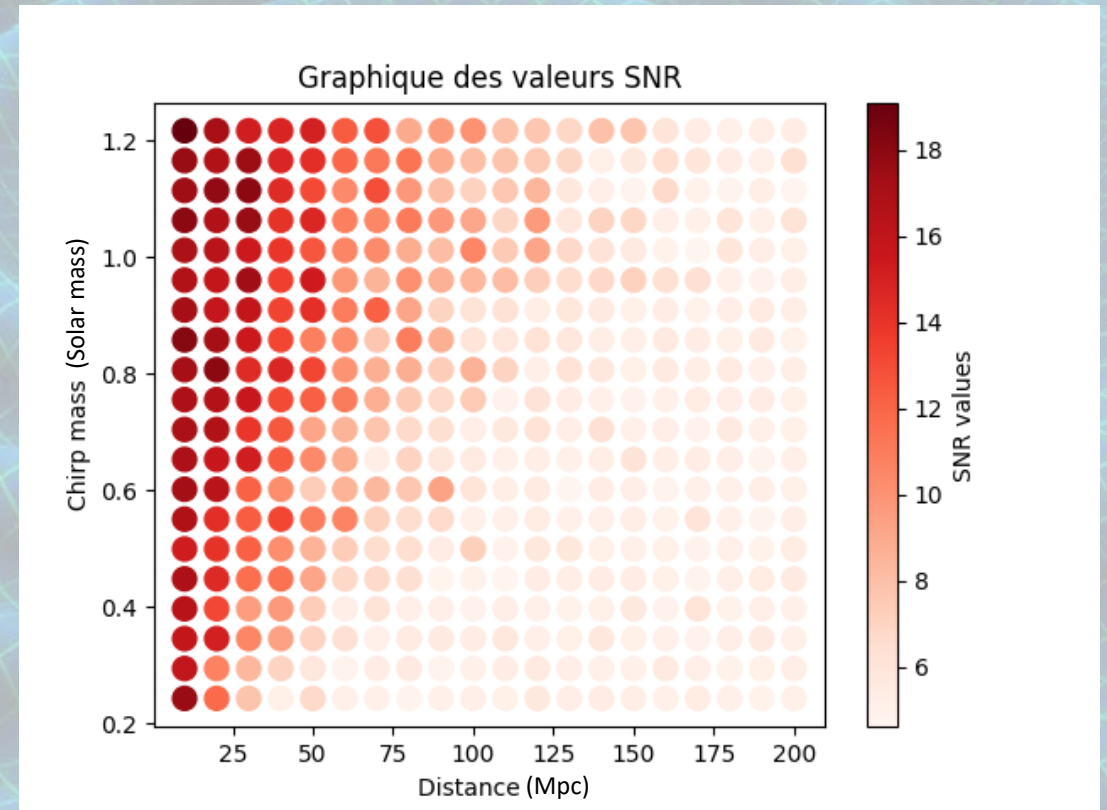
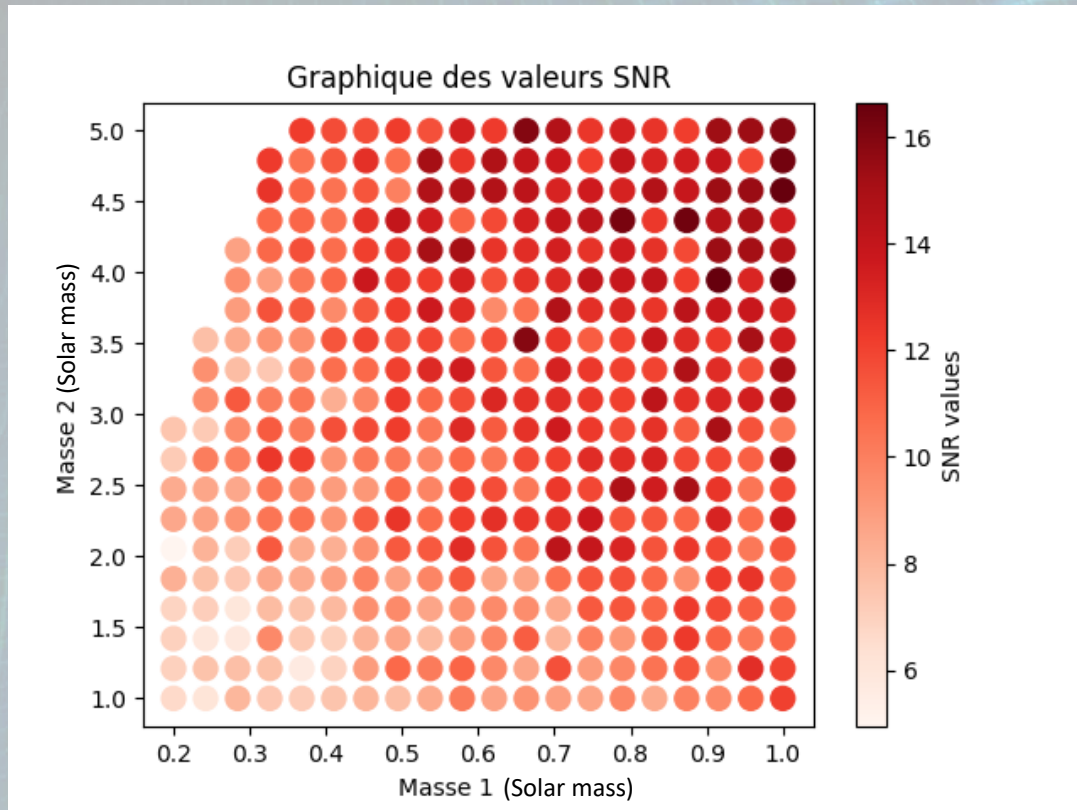


# II – Détections actuelles

Distance : 100 Mpc

SNR simulé pour des gammes de masses :

q : 0,5



$$\text{Chirp mass} = \frac{(m_1 \cdot m_2)^{\frac{3}{5}}}{(m_1 + m_2)^{\frac{1}{5}}}$$

$$q = \frac{m_1}{m_2} \text{ avec } m_2 > m_1$$

$$\text{SNR}^2 = 4 \int_0^{+\infty} \frac{|\tilde{h}(f)|^2}{S_n(f)} df$$

# II – Détections actuelles

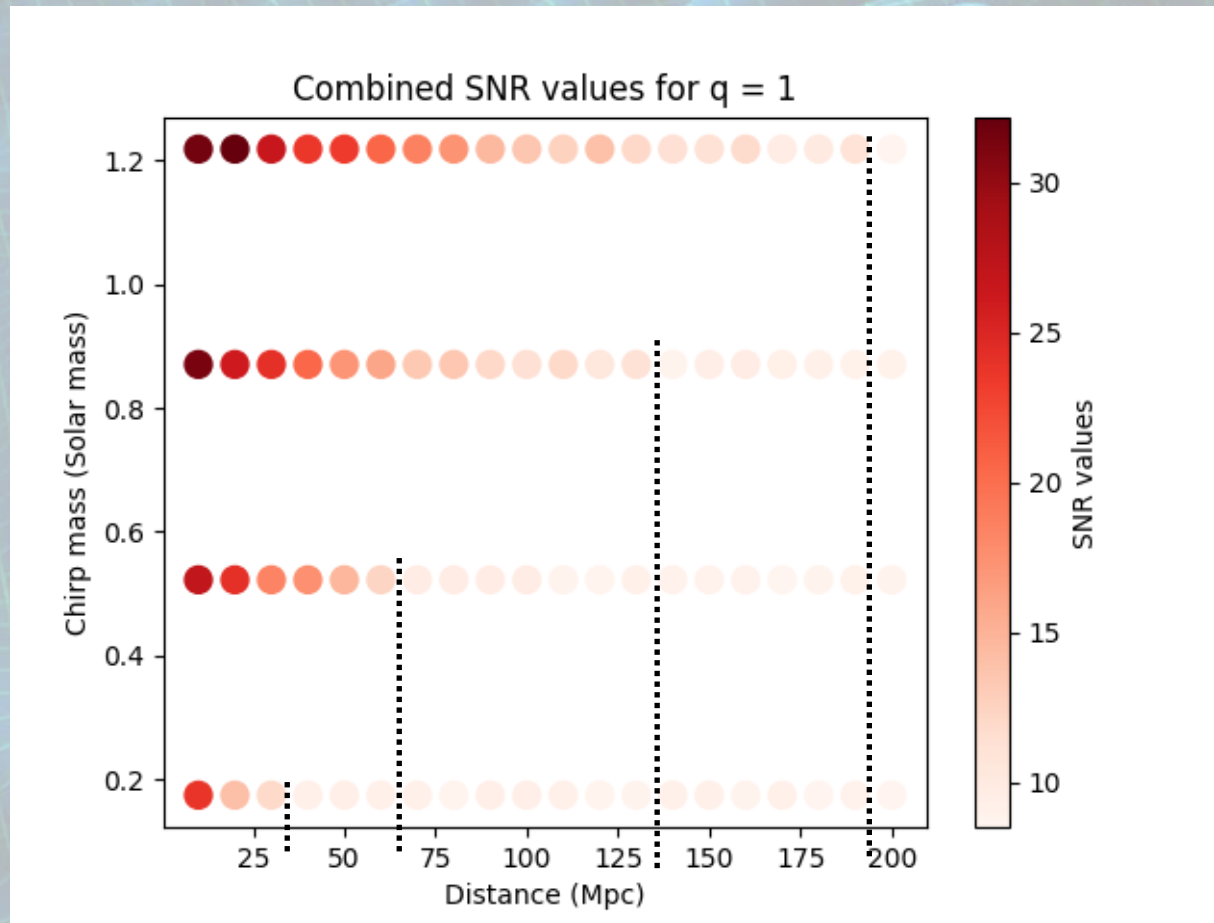
Portée de détection des détecteurs:

Masses : 1,4 (BNS)  
(solar mass)

Masses : 0,8  
(solar mass)

Masses : 0,5  
(solar mass)

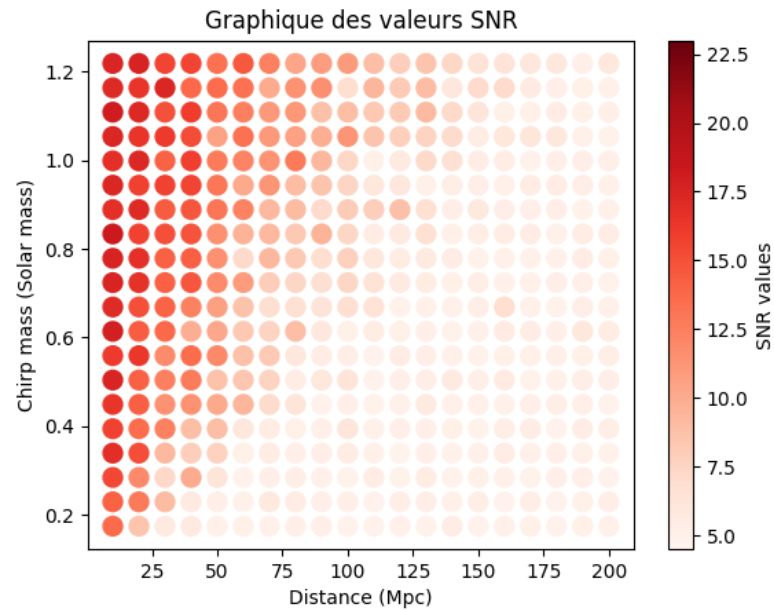
Masses : 0,2  
(solar mass)



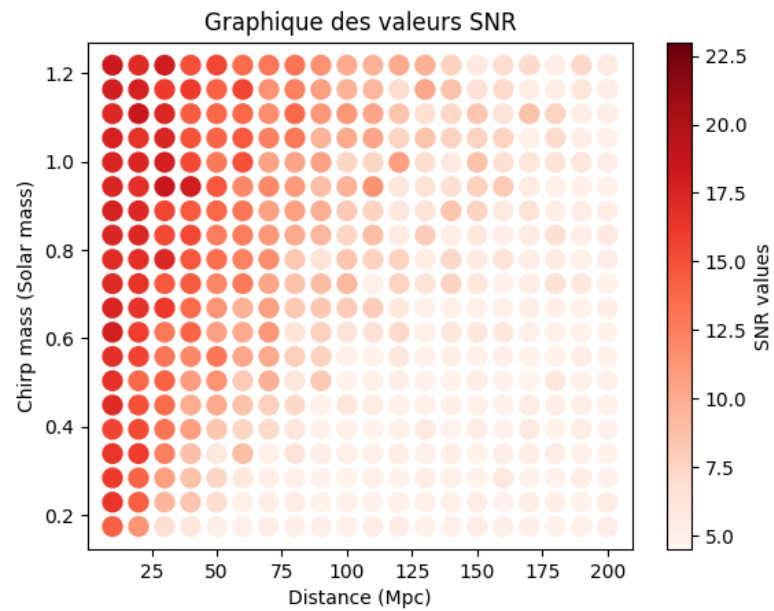


# II – Détections actuelles

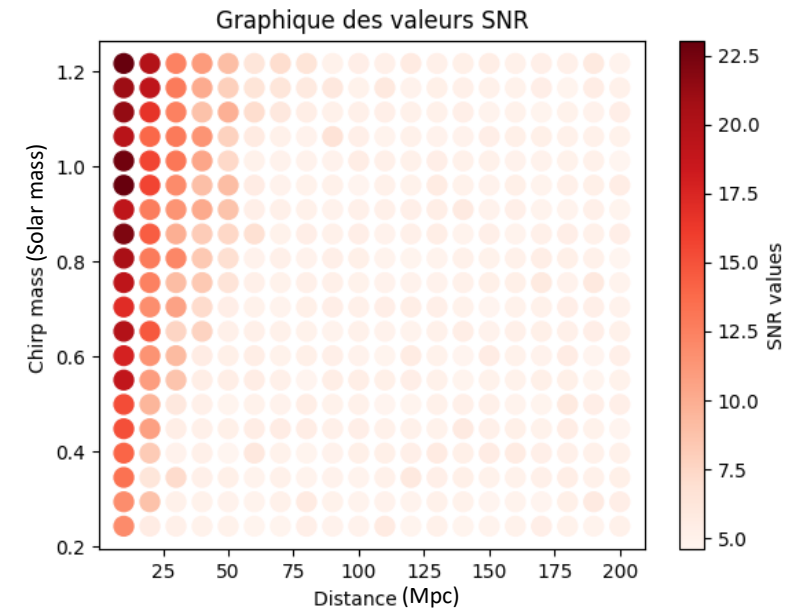
Comparaison des SNR pour les détecteurs actuels:



Hanford



Livingston



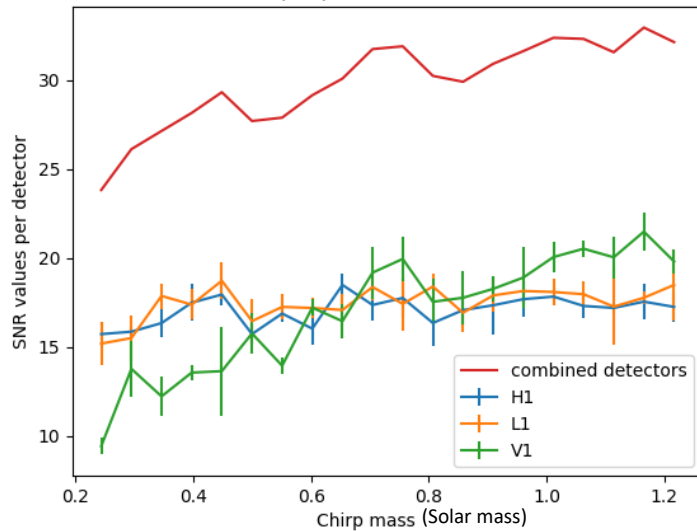
Virgo



# II – Détections actuelles

Comparaison des SNR pour les détecteurs actuels:

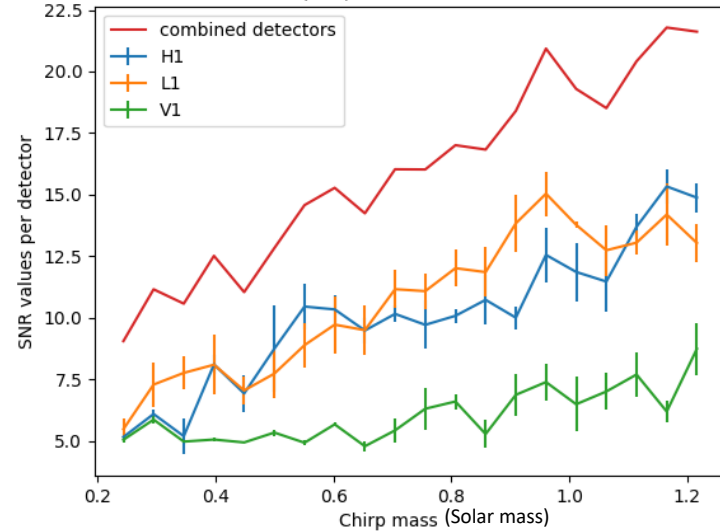
Graphique des valeurs SNR



q : 0,5

Distance : 10 Mpc

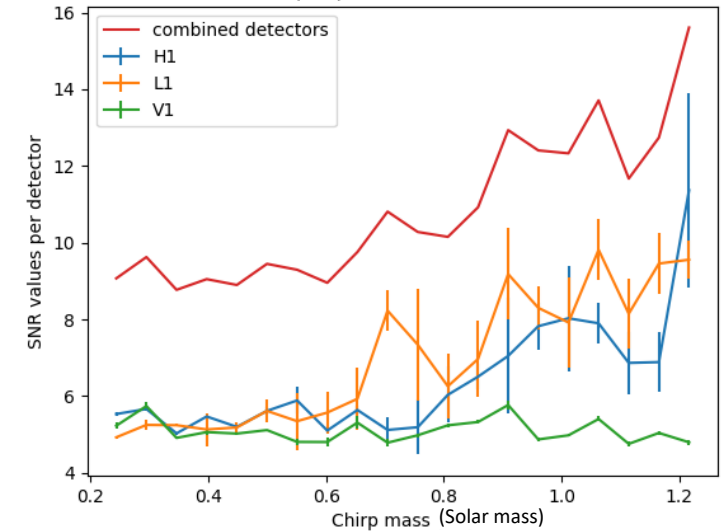
Graphique des valeurs SNR



q : 0,5

Distance : 50 Mpc

Graphique des valeurs SNR

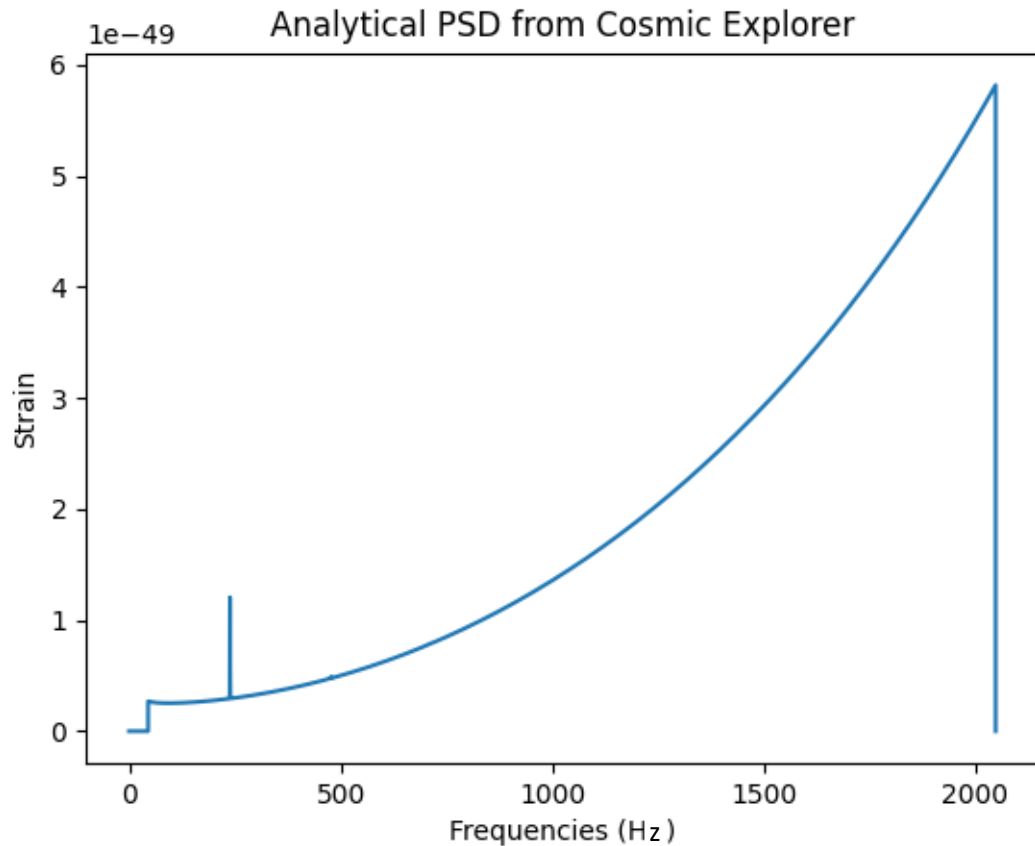


q : 0,5

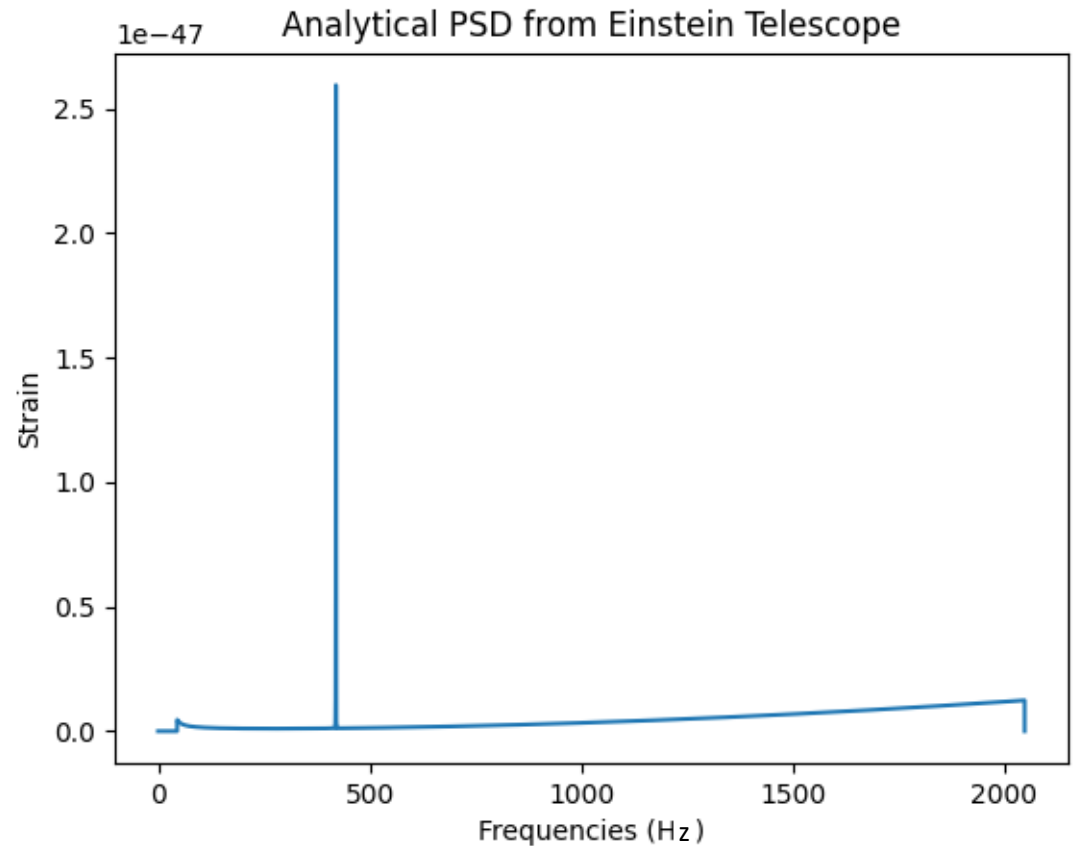
Distance : 100 Mpc



# III – Détection futures



`pycbc.psd.analytical.CosmicExplorerP1600143`



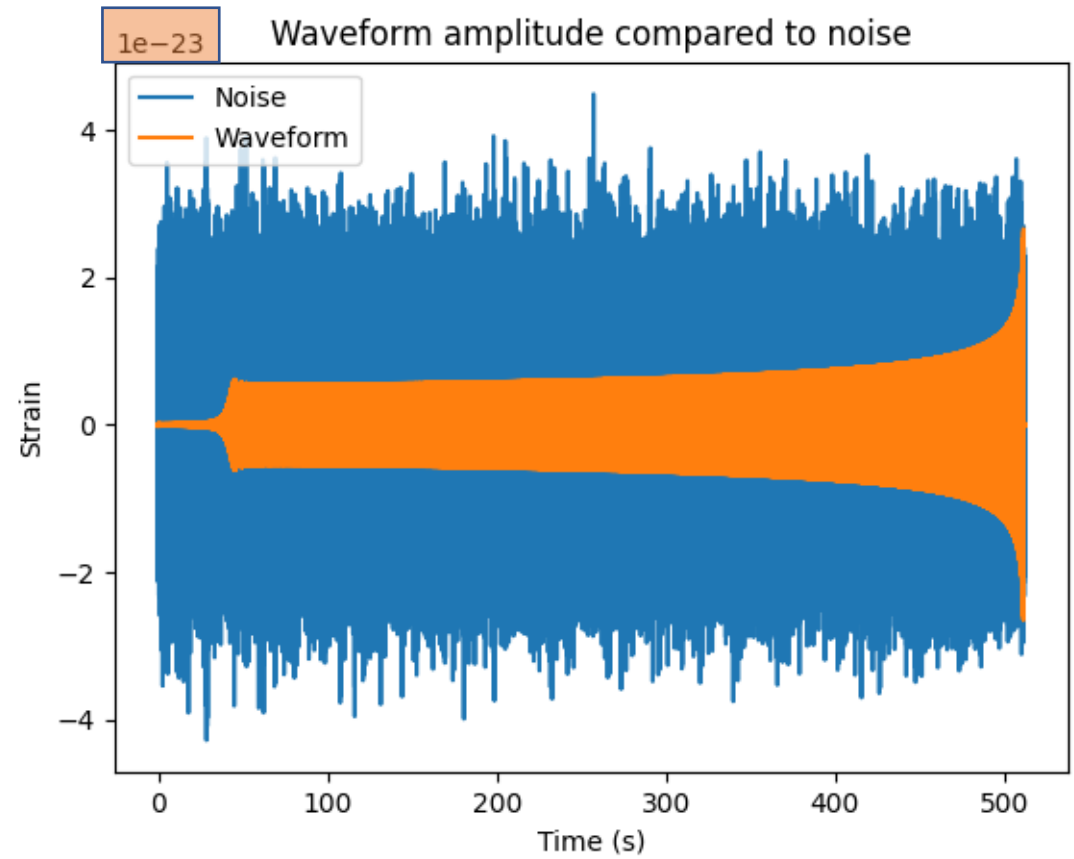
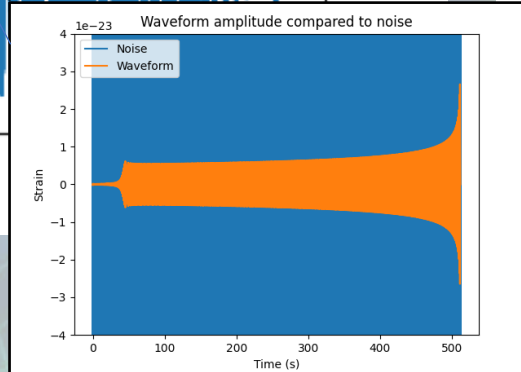
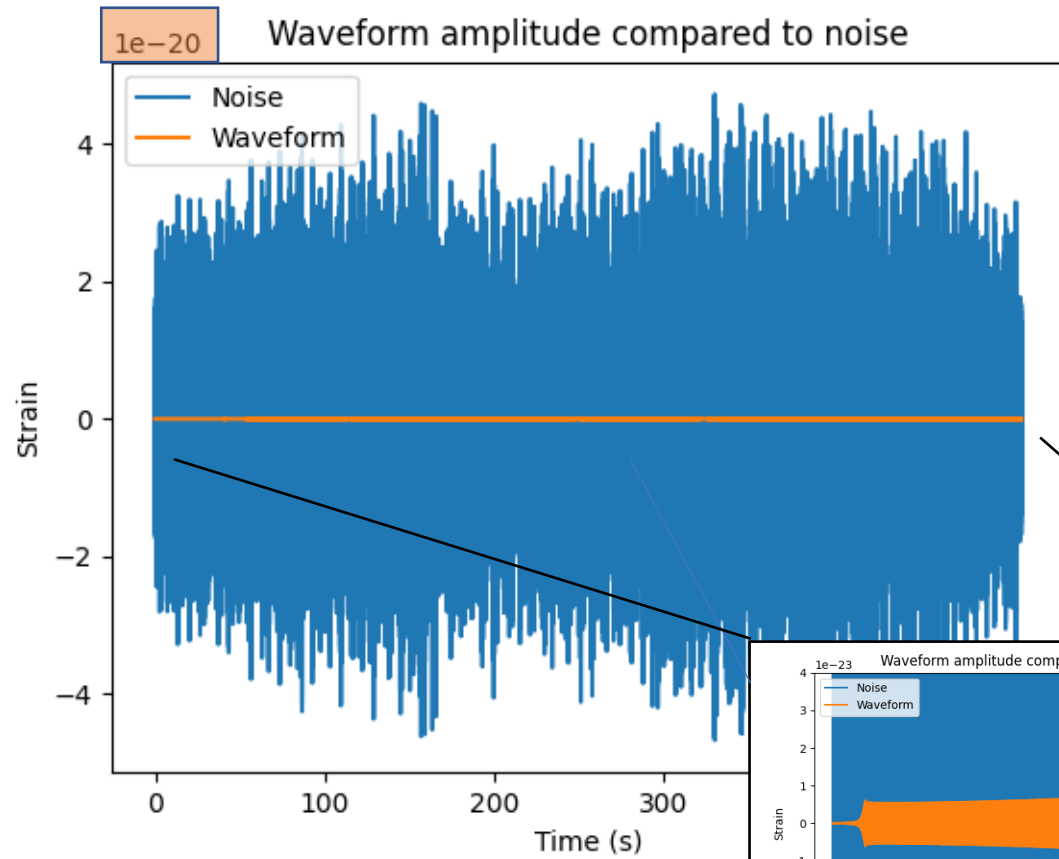
`pycbc.psd.analytical.EinsteinTelescopeP1600143`



# III – Détection futures

Hanford  
detector

Einstein  
Telescope

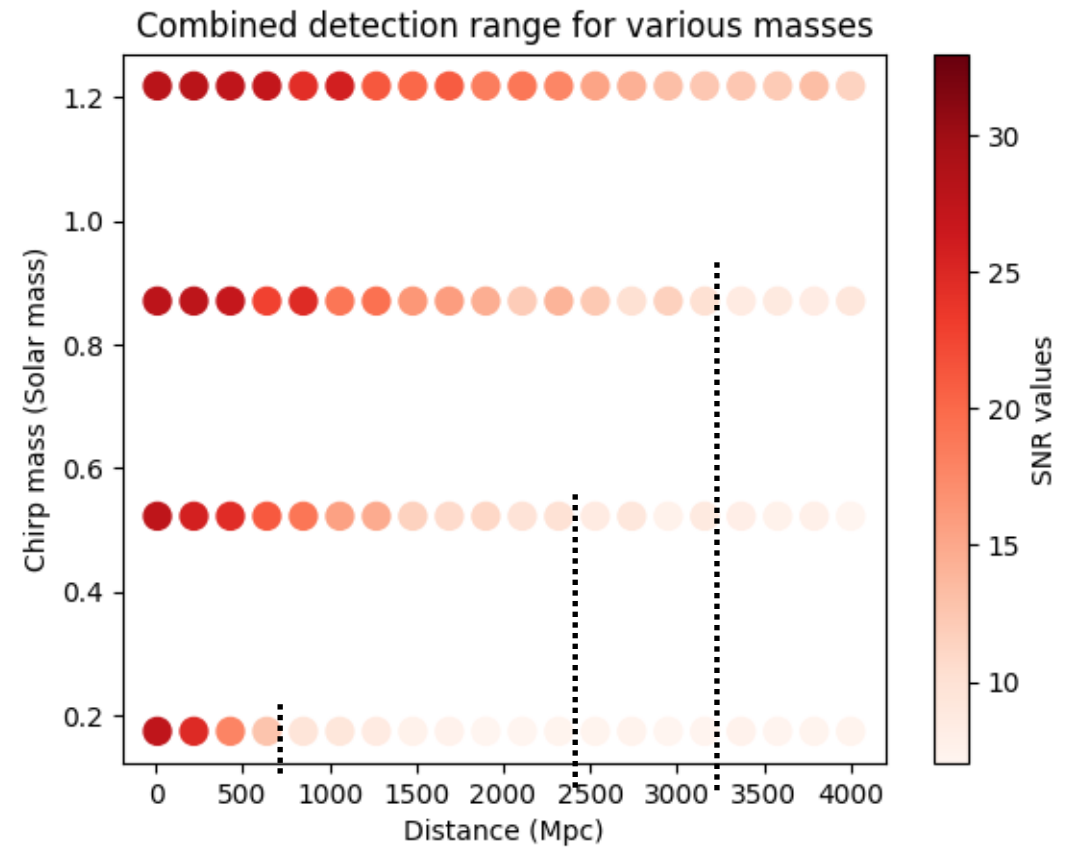
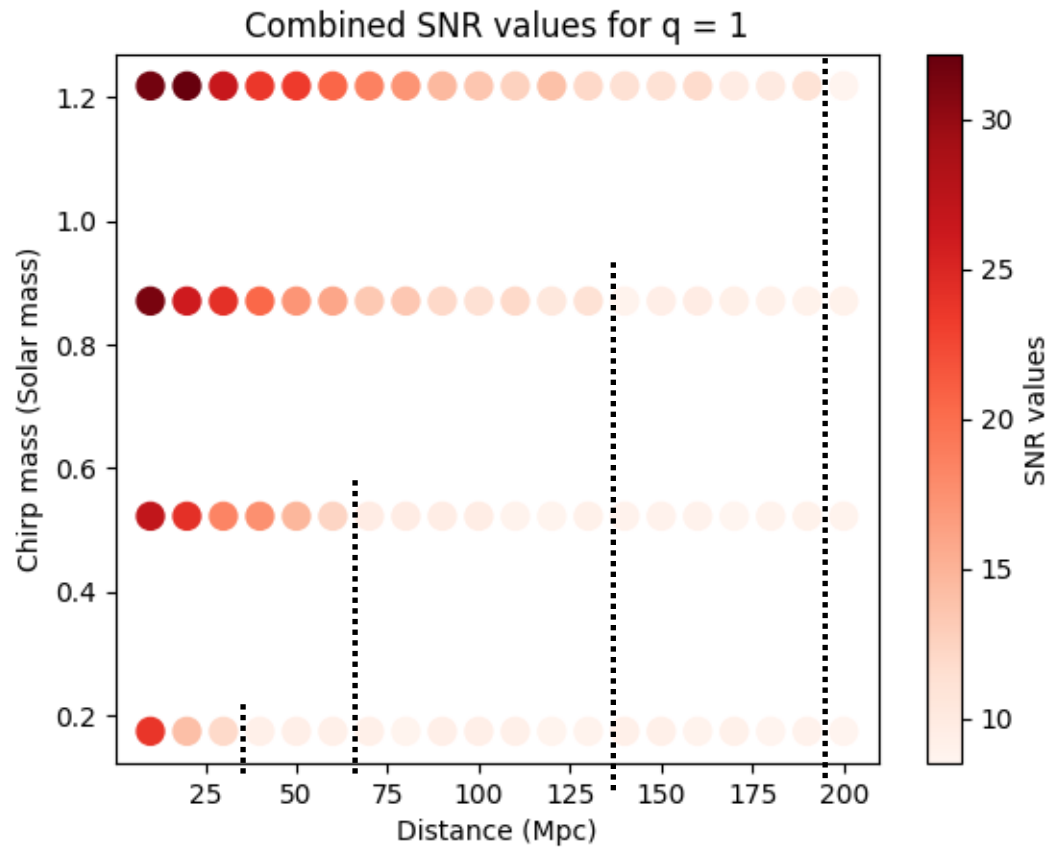




# III – Détection futures

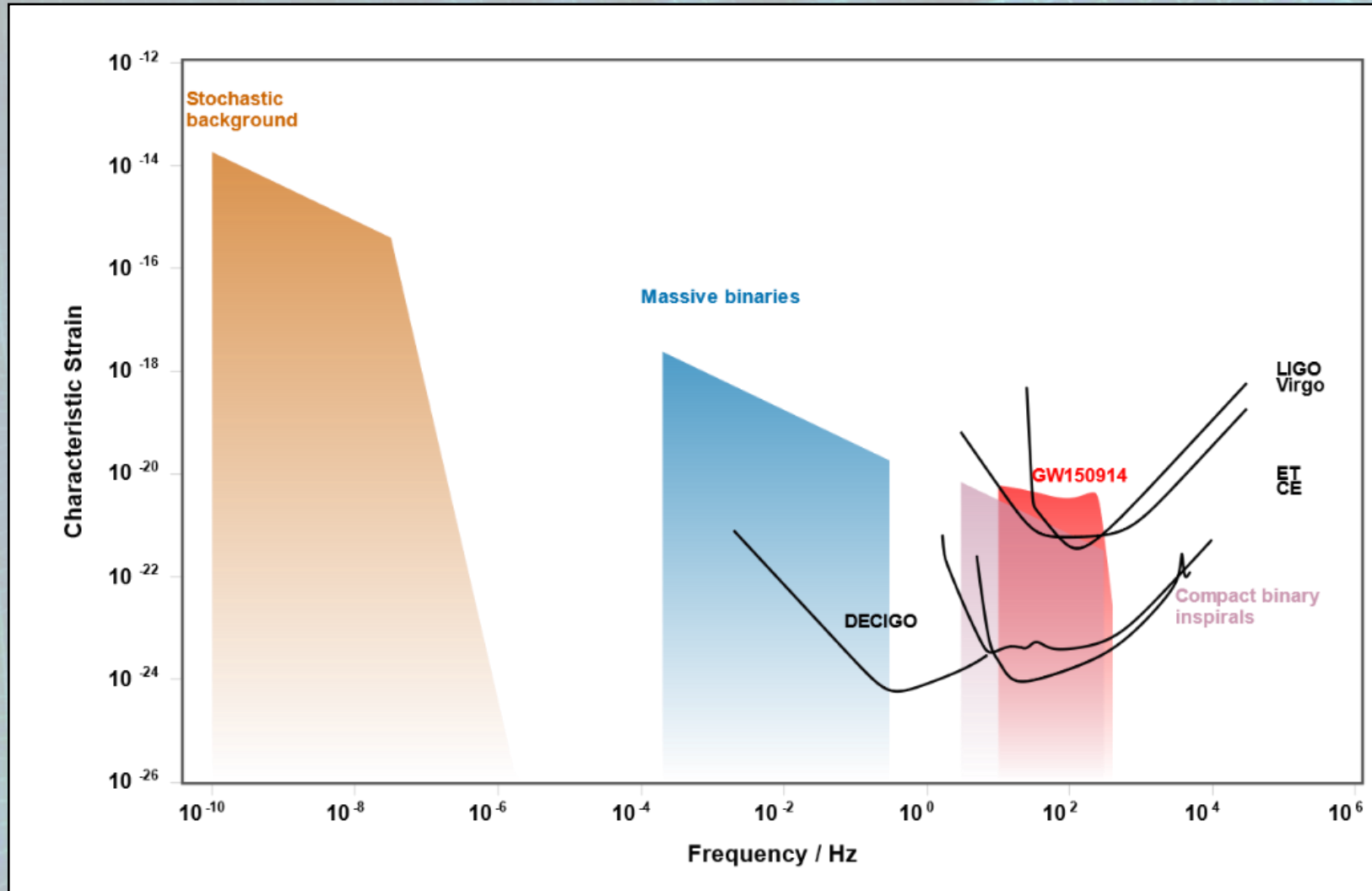
H1 + L1 + V1

ET + CE





# Conclusion



Source : gwplotter.com

# Références

LIGO Scientific Collaboration and Virgo Collaboration (B. P. Abbot et al.) :

**Observation of Gravitational Waves from a Binary Black Hole Merger**, Feb 2016, Physical Review Letters

<https://doi.org/10.1103/PhysRevLett.116.06110> / e-Print: 1602.03837

**GW170817: Observation of Gravitational Waves from a Binary Neutron Star Inspiral**, Oct 2017, Physical Review Letters

<https://doi.org/10.1103/PhysRevLett.119.16110> / e-Print: 1710.05832

**GWTC-1: A Gravitational-Wave Transient Catalog of Compact Binary Mergers Observed by LIGO and Virgo during the First and Second Observing Runs**, Sep 2019, Physical Review X

<https://doi.org/10.1103/PhysRevX.9.03104> / e-Print: 1811.12907

**Search for Subsolar-Mass Binaries in the First Half of Advanced LIGO's and Advanced Virgo's Third Observing Run**, Aug 2022, Physical Review Letters

<https://doi.org/10.1103/PhysRevLett.129.06110> / e-Print: 2109.12197

Pycbc tutorials and tools :

**Pycbc : Library Examples and Interactive Tutorials**

<https://pycbc.org/pycbc/latest/html/tutorials.html>

**PyCBC Tutorial : Generating Waveforms and Matched Filterig**

[https://github.com/gwastro/PyCBC-Tutorials/blob/master/tutorial/3\\_WaveformMatchedFilter.i](https://github.com/gwastro/PyCBC-Tutorials/blob/master/tutorial/3_WaveformMatchedFilter.i)

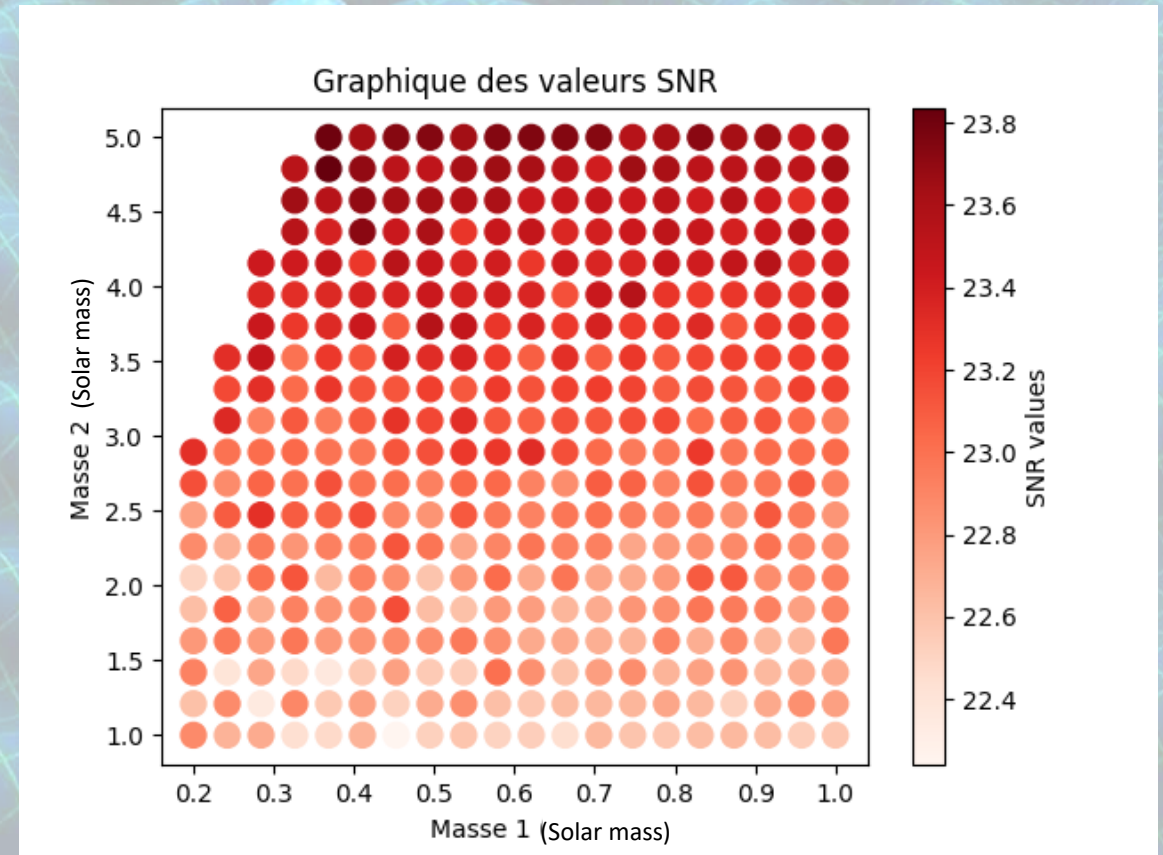
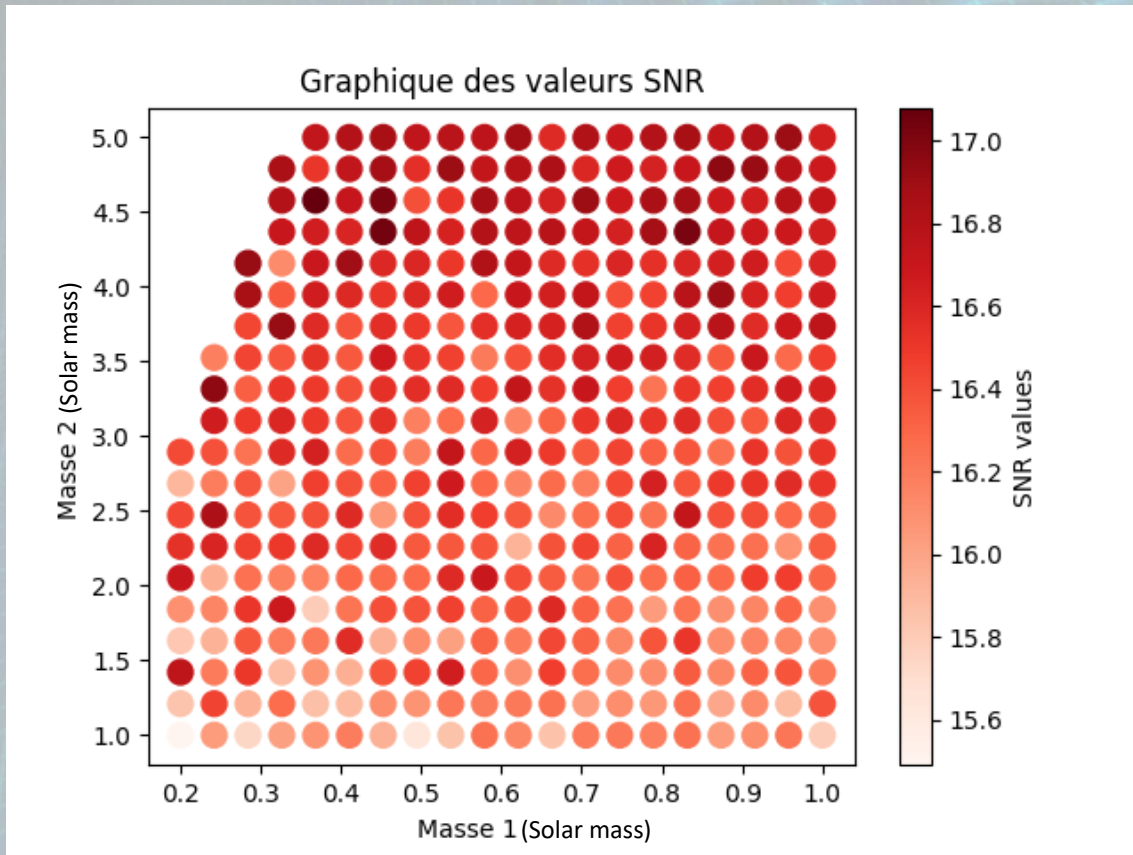


# IV – Comparaisons

Einstein  
Telescope

SNR simulé pour des gammes de masses :

Cosmic  
Explorer

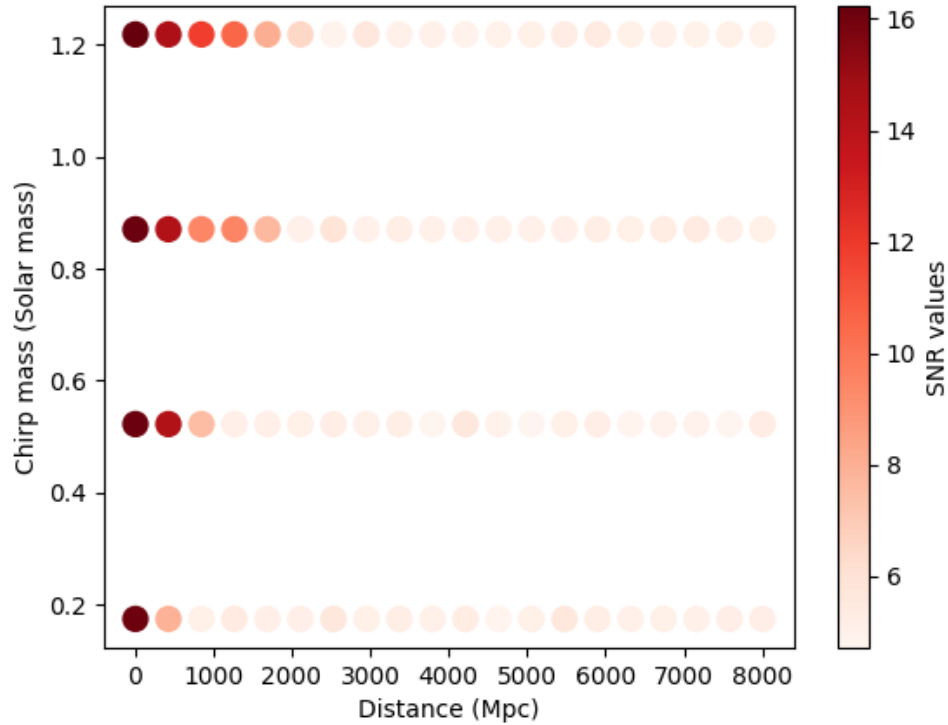


# IV – Comparaisons

Einstein  
Telescope

Cosmic  
Explorer

Detection range for various masses



Masses : 1,4 (BNS)  
(solar mass)

Masses : 0,8  
(solar mass)

Masses : 0,5  
(solar mass)

Masses : 0,2  
(solar mass)

Detection range for various masses

